

5. 布里渊区波矢 \vec{k} 的样点 (\vec{k} -sampling)

第一性原理计算, 特别对晶体材料, 比较费时。在 \vec{k} 空间的物理量, 如波函数 $\psi_{n\vec{k}}(\vec{r})$, 电子密度 $\sum_{n\vec{k}} \rho_{n\vec{k}}(\vec{r})$, 能带 $E_{n\vec{k}}$ 和总能量 (对 \vec{k} 的求和), 不可能计算很密的 \vec{k} 点的值。本节讨论怎样取 \vec{k} 点能最经济地表示这些量在 BZ 上的分布, 特别是对整个 BZ 的积分值。

5.1 星函数 (Star function)

晶格原胞基矢 $(\vec{a}_1, \vec{a}_2, \vec{a}_3)$. 格点位置:

$$\vec{R} = R_1 \vec{a}_1 + R_2 \vec{a}_2 + R_3 \vec{a}_3 \quad (R_i \text{ 整数})$$

$$\text{原胞体积: } \Omega_c = |\vec{a}_3 \cdot (\vec{a}_2 \times \vec{a}_1)|$$

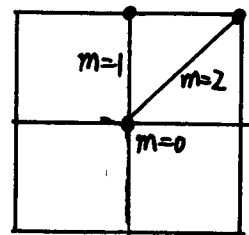
倒格点原胞基矢 $(\vec{b}_1, \vec{b}_2, \vec{b}_3)$:

$$\vec{b}_1 = \frac{2\pi}{\Omega_c} (\vec{a}_2 \times \vec{a}_3), \quad \vec{b}_2 = \frac{2\pi}{\Omega_c} (\vec{a}_3 \times \vec{a}_1), \quad \vec{b}_3 = \frac{2\pi}{\Omega_c} (\vec{a}_1 \times \vec{a}_2)$$

$$\text{倒格点 } \vec{G} = G_1 \vec{b}_1 + G_2 \vec{b}_2 + G_3 \vec{b}_3 \quad (G_i \text{ 整数}) \quad \Omega_b = \frac{(2\pi)^3}{\Omega_c}$$

星函数定义为:

$$A_m(\vec{k}) = \frac{1}{\sqrt{N_m}} \sum_{\vec{R} \in \text{star } m} e^{i\vec{k} \cdot \vec{R}} \quad (m=0, 1, \dots)$$



$\vec{k} \in \text{BZ}$, $\text{Star } m: \{\alpha \vec{R}\}_{|\alpha|=1} \quad (\alpha \text{ 为 } m \text{ 格点群}). \quad N_m \text{ 是 star } m \text{ 中格}$

点阵。特例: $A_0(\vec{k}) = 1$ 。

证:

$$A_m(\vec{k} + \vec{G}) = A_m(\vec{k}) \quad \text{倒格矢空间的周期函数。}$$

$$A_m(\alpha \vec{k}) = \frac{1}{\sqrt{N_m}} \sum_{\vec{R} \in \text{star } m} e^{i\alpha \vec{k} \cdot \vec{R}} = \frac{1}{\sqrt{N_m}} \sum_{\vec{R} \in \text{star } m} e^{i\alpha \vec{k} \cdot \alpha(\alpha^{-1} \vec{R})}$$

$$= \frac{1}{\sqrt{N_m}} \sum_{\vec{R} \in \text{star } m} e^{i\alpha \vec{k} \cdot \alpha \vec{R}} = \frac{1}{\sqrt{N_m}} \sum_{\vec{R} \in \text{star } m} e^{i\vec{k} \cdot \vec{R}} = A_m(\vec{k}) \quad \begin{array}{l} \text{与倒格有} \\ \text{相同的对称} \\ \text{性。} \end{array}$$

$$\int_{BZ} \frac{d\vec{k}}{\Omega_b} A_{m'}^*(\vec{k}) A_m(\vec{k}) = \frac{1}{\sqrt{N_{m'} N_m}} \sum_{\substack{\vec{R}' \in \text{star } m' \\ \vec{R} \in \text{star } m}} \int_{BZ} \frac{d\vec{k}}{\Omega_b} e^{-i\vec{k} \cdot (\vec{R}' - \vec{R})} = \delta_{m, m'}$$

在 BZ 上 $\{A_m(\vec{k})\}$ 相互正交。特例 ($A_0^*(\vec{k}) = 1$) :

$$\int_{BZ} \frac{d\vec{k}}{\Omega_b} A_m(\vec{k}) = \int_{BZ} \frac{d\vec{k}}{\Omega_b} A_0^*(\vec{k}) A_m(\vec{k}) = 0 \quad (m \neq 0)$$

5.2 Chadi-Cohen 方法 (1973)

设 $f(\vec{k})$ 是任意 \vec{k} 的周期函数, 且具有晶体的点群对称性:

$$f(\vec{k} + \vec{G}) = f(\vec{k}); \quad f(\alpha \vec{k}) = f(\vec{k})$$

则 $f(\vec{k})$ 可用 $A_m(\vec{k})$ 展开:

$$f(\vec{k}) = \sum_m f_m A_m(\vec{k}) \quad ; \quad f_m = \int_{BZ} \frac{d\vec{k}}{\Omega_b} A_m^*(\vec{k}) f(\vec{k})$$

$f(\vec{k})$ 在 BZ 上的平均值为:

$$\bar{f} = \int_{BZ} \frac{d\vec{k}}{\Omega_b} f(\vec{k}) = \frac{1}{N} \sum_{\vec{k} \in BZ} f(\vec{k}) = \sum_m f_m \int_{BZ} \frac{d\vec{k}}{\Omega_b} A_m(\vec{k}) = f_0$$

设 $\{\vec{k}_j\}$ 为一组波矢样点 ($j=1, \dots, j_m$), ii) 要求 $\{\vec{k}_j\}$ 属于不同 \vec{k} 星

\vec{k} -star: $\{\text{所有不相等的 } \alpha \vec{k}\}$

iii) 要求:
$$\sum_{j=1}^{j_m} W_j(\vec{k}_j) A_m(\vec{k}_j) = 0 \quad (m=1, 2, \dots, M)$$

$W_j(\vec{k}_j)$ 是 \vec{k}_j -star 中不同波矢个数.

波矢样点的个数 (j_m) 越大, 上式中的 M 也越大. 记,

$$\omega_j(\vec{k}_j) = W_j(\vec{k}_j) / \sum_{j=1}^{j_m} W_j(\vec{k}_j)$$

有:
$$\sum_{j=1}^{j_m} \omega_j(\vec{k}_j) A_m(\vec{k}_j) = 0 \quad (m=1, 2, \dots, M), \quad \sum_{j=1}^{j_m} \omega_j(\vec{k}_j) = 1.$$

可用如下值逼近 $f(\vec{k})$ 在 BZ 上的平均值:

$$\begin{aligned} \bar{f} &= \sum_{j=1}^{j_m} \omega_j(\vec{k}_j) f(\vec{k}_j) = \sum_{j=1}^{j_m} \omega_j(\vec{k}_j) \sum_{m=0} f_m A_m(\vec{k}_j) \\ &= f_0 + \underbrace{\sum_{m=M+1} f_m \sum_{j=1}^{j_m} \omega_j(\vec{k}_j) A_m(\vec{k}_j)}_{\text{误差}} \approx f_0 \end{aligned}$$

一般 $f(\mathbf{k}) = \sum_{m=0}^{\infty} f_m A_m(\mathbf{k})$ 中, f_m 随 m 增大很快变小. 所以样点 $\{\mathbf{k}_j\}$ 越多 (m 越大, M 越大), 误差越小.

缺点: 确定 $\{\mathbf{k}_j\}$ 比较难, 需解一组非线性方程. 不同晶体, $\{\mathbf{k}_j\}$ 可很不相同. $\{\mathbf{k}_j\}$ 在 BZ 中的分布一般不均匀分布.

5.3 Monkhorst - Pack 方法 (1976)

均匀分布的 N 样点, 也能使 BZ 上的积分较快收敛. 主要特点:

N 样点的选取很方便. 取如下样点:

$$\mathbf{k}_{P_1 P_2 P_3} = u_{P_1} \mathbf{b}_1 + u_{P_2} \mathbf{b}_2 + u_{P_3} \mathbf{b}_3$$

其中

$$u_{P_i} = \frac{2P_i - Q - \delta}{2Q}, \quad (P_i = 1, 2, \dots, Q, i=1, 2, 3)$$

$$\text{有: } -\frac{1}{2} \leq u_{P_i} \leq \frac{1}{2} \quad \delta = \begin{cases} 1 & Q \text{ 奇数} \\ 0 & Q \text{ 偶数} \end{cases}$$

$\{\mathbf{k}_{P_1 P_2 P_3}\}$ 在 BZ 中 $\{^*\}$ 成均匀分布的 Q^3 个点, 有些点属于相同的 \mathbf{k} -star.

$$\begin{aligned} & \frac{1}{Q^3} \sum_{P_1, P_2, P_3=1}^Q A_{m'}^*(\mathbf{k}_{P_1 P_2 P_3}) A_m(\mathbf{k}_{P_1 P_2 P_3}) = \\ &= \frac{1}{N_m N_m} \sum_{\substack{\mathbf{R}' \in \text{star } m' \\ \mathbf{R} \in \text{star } m}} \left[\frac{1}{Q} \sum_{P_1=1}^Q e^{-i \frac{2P_1 - Q - \delta}{2Q} \cdot 2\pi(\mathbf{R}'_1 - \mathbf{R}_1)} \right] * \\ & * \left[\frac{1}{Q} \sum_{P_2=1}^Q e^{-i \frac{2P_2 - Q - \delta}{2Q} \cdot 2\pi(\mathbf{R}'_2 - \mathbf{R}_2)} \right] * \left[\frac{1}{Q} \sum_{P_3=1}^Q e^{-i \frac{2P_3 - Q - \delta}{2Q} \cdot 2\pi(\mathbf{R}'_3 - \mathbf{R}_3)} \right] \end{aligned}$$

$$\text{即 } \frac{1}{Q} \sum_{P_i=0}^Q e^{-i \frac{2P_i - Q - \delta}{2Q} \cdot 2\pi (R'_i - R_i)} = \begin{cases} 1 & R'_i - R_i = 0, 2Q, 4Q, \dots \\ (-1)^{Q+1} & R'_i - R_i = Q, 3Q, 5Q, \dots \\ 0 & \text{其它} \end{cases}$$

如果 $|R_i| < \frac{Q}{2}$, $|R'_i| < \frac{Q}{2}$, 则

$$\frac{1}{Q^3} \sum_{P_1, P_2, P_3=0}^Q A_{m'}^*(\vec{k}_{P_1 P_2 P_3}) A_m(\vec{k}_{P_1 P_2 P_3}) = \delta_{m, m'}$$

例: 如图1所示二维正方格子, 取 $Q=5$:

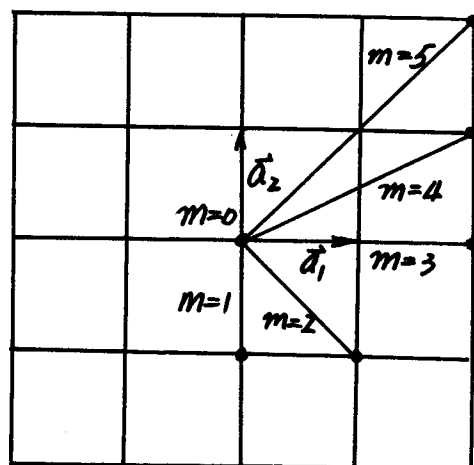
$$A_5(\vec{k}) = \frac{1}{\sqrt{4}} \sum_{\vec{R} \in \text{star } 5} e^{i \vec{k} \cdot \vec{R}}$$

$$\vec{R} = R_1 \vec{a}_1 + R_2 \vec{a}_2, \quad R_i = \pm 2,$$

所以: A_0, A_1, \dots, A_5 满足条件 $|R_i| < \frac{Q}{2}$.

$\{A_m(\vec{k})\}$ ($m=0, 1, \dots, M, M=5$) 在分立的 \vec{k} 样点上 $\{\vec{k}_{P_1 P_2 P_3}\}$

相互正交. Q 越大, 满足条件 ($|R_i| < \frac{Q}{2}$) 的 $A_m(\vec{k})$ 越多, M 越大.



$f(\vec{k})$ 在 BZ 上平均值可用以下的近似值表示:

$$\begin{aligned} \overline{f} &= \frac{1}{Q^3} \sum_{P_1, P_2, P_3=0}^Q f(\vec{k}_{P_1 P_2 P_3}) = \frac{1}{Q^3} \sum_{P_1, P_2, P_3=0}^Q \sum_{m=0}^{\infty} f_m A_m(\vec{k}_{P_1 P_2 P_3}) \\ &= f_0 + \underbrace{\sum_{m=M+1}^{\infty} f_m \frac{1}{Q^3} \sum_{P_1, P_2, P_3=0}^Q A_m(\vec{k}_{P_1 P_2 P_3})}_{\text{误差}} \approx f_0 \end{aligned}$$

\uparrow
 $A_0^*(\vec{k}_{P_1 P_2 P_3})$

k -样点可平移, 如偏离 Γ 点 ($k=0$). 并且 b_1, b_2, b_3 方向上的总点数可不相同 (Q_1, Q_2, Q_3). 一般 $\{\vec{k}_{P_1 P_2 P_3}\}$ 中有许多 k 点属于相同的 k -star, 设 $\{\vec{k}_{P_1 P_2 P_3}\}$ 中共有 j_m 个不同的 k -star, 用 $\{\vec{k}_j\}$ 表示每个 k -star 中的代表点, 则:

$$\begin{aligned}\overline{f} &= \frac{1}{Q^3} \sum_{P_1 P_2 P_3=0}^Q f(\vec{k}_{P_1 P_2 P_3}) = \sum_{j=1}^{j_m} \frac{W_j(\vec{k}_j)}{Q^3} f(\vec{k}_j) \\ &= \sum_{j=1}^{j_m} \omega_j(\vec{k}_j) f(\vec{k}_j)\end{aligned}$$

Monkhorst-Pack 方法是目前常用的 k -样点方法.

5.4 金属材料中的BZ求和

(i) 高斯展宽 (Gaussian smearing, 1983)

对金属材料, 由于具有部分充满的能带, 在BZ中出现 Fermi 面. 需讨论在 Fermi 面附近的 k 样点, 在 BZ 求和中的贡献.

已知能级: $E_{n\vec{k}}$ $\vec{k} \in \{\vec{k}_1, \vec{k}_2, \vec{k}_3\}$
高斯展宽: 设 $n\vec{k}$ 状态电子的能量为 $E - E + dE$ 范围内的几率为:

$$dE \cdot \rho_{n\vec{k}}(E) = A e^{-(E - E_{n\vec{k}})^2 / \sigma^2} dE$$

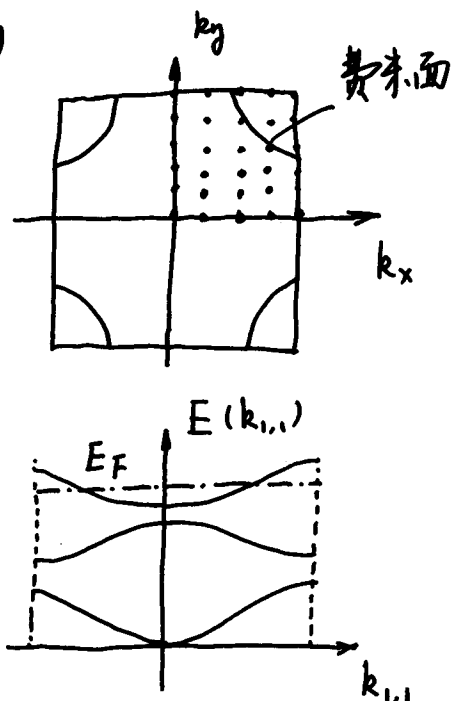
归一化条件: $1 = \int_{-\infty}^{\infty} \rho_{n\vec{k}}(E) dE \rightarrow 1 = A\sigma\sqrt{\pi} \rightarrow A = \frac{1}{\sigma\sqrt{\pi}}$

电子密度 (在单位体积内, $E - E + dE$ 之间的电子数):

$$n(E, \vec{r}) dE = \sum_{n\vec{k}} n_{n\vec{k}}(\vec{r}) \rho_{n\vec{k}}(E) dE. \quad n_{n\vec{k}}(\vec{r}) = |\psi_{n\vec{k}}(\vec{r})|^2$$

总电子数:

$$\begin{aligned} N &= \int_{-\infty}^{E_F} dE \int d\vec{r} n(E, \vec{r}) = \sum_{n\vec{k}} \int_0^{E_F} \rho_{n\vec{k}}(E) dE = \sum_{n\vec{k}} \frac{1}{\sigma\sqrt{\pi}} \int_0^{E_F} e^{-(E - E_{n\vec{k}})^2 / \sigma^2} dE \\ &= \sum_{n\vec{k}} \frac{1}{\sqrt{\pi}} \int_{-\infty}^{(E_F - E_{n\vec{k}})/\sigma} e^{-x^2} dx \xrightarrow{\sigma \rightarrow 0^+} \sum_{n\vec{k}} \theta(E_F - E_{n\vec{k}}) \end{aligned}$$

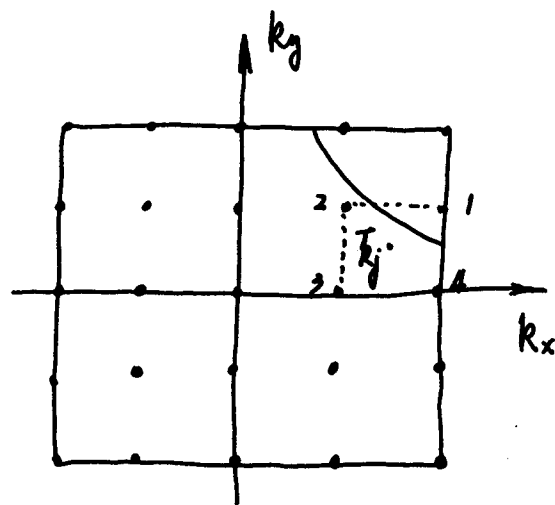


$$\begin{aligned}\bar{f} &= \frac{1}{N} \sum_{n\vec{k}} \int_{-\infty}^{E_F} f_n(\vec{k}) \rho_{n\vec{k}}(E) dE = \frac{1}{N} \sum_{n\vec{k}} f_n(\vec{k}) \underbrace{\frac{1}{\sqrt{\pi}} \int_{-\infty}^{(E_F - E_{n\vec{k}})/\sigma} e^{-x^2} dx}_{\eta_{n\vec{k}}} \\ &= \frac{1}{N} \sum_{n\vec{k}} f_n(\vec{k}) \eta_{n\vec{k}} \cong \frac{1}{Q^3} \sum_{P_1 P_2 P_3} \sum_n f_n(\vec{k}_{P_1 P_2 P_3}) \eta_{n\vec{k}_{P_1 P_2 P_3}}\end{aligned}$$

$$\eta_{n\vec{k}} = \frac{1}{\sqrt{\pi}} \int_{-\infty}^{(E_F - E_{n\vec{k}})/\sigma} e^{-x^2} dx = \begin{cases} \sim 1 & E_{n\vec{k}} \ll E_F \\ \frac{1}{2} & E_{n\vec{k}} = E_F \quad (\sigma \text{ 很小}) \\ \sim 0 & E_{n\vec{k}} \gg E_F \end{cases}$$

(ii) Gilat - Raubenheimer 方法 (1964):

每8个最邻近的 $\vec{k}_{P_1 P_2 P_3}$ 点 (三维) 构成一个小立方体. 立方体内的 $E_{n\vec{k}}$ 可用8个顶角上的值线性表示, 计算该立方体的体积中有多少在费米面内, 得出比值: $\eta_{n\vec{k}_j} = V_{\text{立方体内}} / V_{\text{立方体}}.$



然后计算物理量 (如 $E_{n\vec{k}}$, $\eta_{n\vec{k}}(\vec{r})$) 在立方体中心的值 (线性函数), $f_n(\vec{k}_j)$. 求和为:

$$\sum_{n\vec{k}_j} f_n(\vec{k}_j) \eta_{n\vec{k}_j} = \bar{f}$$